

شبیه سازی پرتوهای کیهانی و تعیین رابطه ارتفاع بیشینه توسعه بهمنهای گستردۀ هوایی (H_{max}) با جرم و انرژی

گوهر رستگار زاده

گروه فیزیک، دانشکده علوم پایه، دانشگاه سمنان
پست الکترونیکی: grastgarzadeh@semnan.ac.ir

(دریافت مقاله: ۸۴/۹/۱۹؛ دریافت نسخه نهایی: ۸۵/۲/۹)

چکیده

با استفاده از کد CORSIKA و مدل اندرکش هادرونی انرژی‌های بالا QGSJET، شبیه سازی مونت کارلو برای تعداد ۵۰۰۰ بهمن گستردۀ هوایی و تابشهای اولیه گاما، بروتون، هلیوم، نیتروژن، سیلیسیوم و آهن در انرژی‌های مختلف انجام و رابطه H_{max} با جرم و انرژی تابش اولیه به دست آمده و نتایج مورد تحلیل قرار گرفته است.

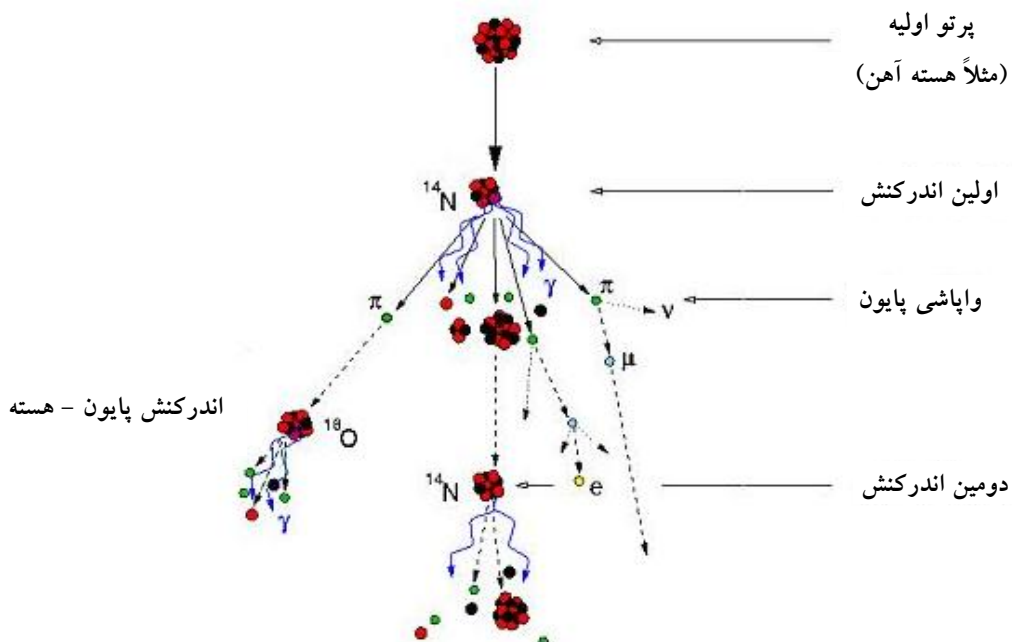
واژه‌های کلیدی: پرتوهای کیهانی، بهمنهای گستردۀ هوایی، CORSIKA

هستند. در سال ۱۹۲۰ یک دانشمند فرانسوی به نام پیر اوژه^۱ پدیده بهمنهای گستردۀ هوایی (EAS) را کشف کرد. او فهمید که ذرات پر انرژی (CR) قادر به ساختن بهمنهایی از ذرات ثانویه هستند که تا محدوده صدھا متر گسترش دارند. از آن به بعد آشکارسازی این ذرات ثانویه و نور چرنکوف و نور فلورسانس مربوط به آنها به عنوان روش‌های آشکارسازی پرتوهای کیهانی پرانرژی در آزمایش‌های گوناگون به کار گرفته می‌شود. در انرژی‌های E > ۱۰۰ TeV، آشکارسازی (CR) عمدتاً از طریق آشکارسازی و مطالعه پارامترهای مختلف ثانویه‌های یک بهمن گستردۀ هوایی صورت می‌گیرد. همچنین جهت، انرژی و جرم اولیه به طریق غیرمستقیم و با بازسازی بهمن از پایین به بالا و استفاده از کُدھای شبیه‌سازی به دست می‌آید. از جمله این روشها می‌توان به استفاده از تعداد میونهای ثانویه [۱]، توزیع

۱. مقدمه
پرتوهای کیهانی تابشهای پر انرژی هستند که به طور پیوسته زمین را بمباران می‌کنند. اگر چه بیشتر این پرتوها پروتونها هستند، اما آزمایش‌های مستقیم ترکیب جرمی این تابش را حاوی ۵۰٪ پروتون، ۲۵٪ هلیوم، ۱۳٪ گروه هسته‌های C-N-O کمتر از یک درصد الکترون و کمتر از ۱٪ درصد پرتوهای گاما نشان می‌دهد.

محدوده انرژی تابشهای کیهانی (CR) بسیار گستردۀ است و از ۱۰^۹ eV تا ۱۰^{۲۰} eV گستردۀ است. البته شار این تابشها به سرعت با انرژی افت می‌کند و در انرژی ۱ GeV ۱ شار این تابش ۱۰^۳ ذره بر متر مربع در ثانیه و در انرژی ۱۰^۳ GeV فقط یک ذره بر متر مربع بر ثانیه است.

تکنیک آشکارسازی پرتوهای کیهانی از زمان کشف آنها تا کنون در حال تکامل بوده است. در ابتدا این ذرات توسط اتاقکهای یونیزاسیون، شمارنده‌های گایگر و اتاقکهای ابری آشکار می‌شدند. این تکنیکها البته محدود به ذرات کم انرژی



شکل ۱. نمای شماتیک یک بهمن هوایی

باشد بر اثر تولید زوج و تابش ترمزی رگباری از فوتونها و الکترونها خواهیم داشت.

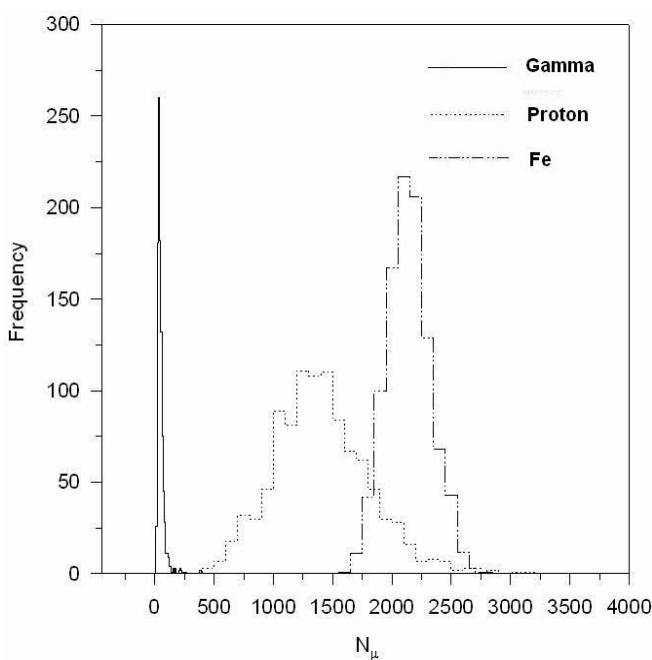
در حال حاضر رصدخانه‌های پرتوکیهانی بسیاری در سراسر دنیا به آشکارسازی پرتوهای کیهانی می‌پردازند. این رصدخانه‌ها در ارتفاعات مختلف از سطح دریا قرار دارند که معروفترین آنها گروه KASCADE در آلمان [۵] و رصدخانه پیر اوژه در آژرانتین هستند [۶].

در ایران نیز گروه رصدخانه تابش پرانرژی کیهانی البرز در دانشگاه صنعتی شریف [۷] با طراحی و ساخت یک آرایه کوچک مت Shank از تعداد محدودی آشکارساز سیستیلاتور و بهینه‌سازی پارامترهای مختلف آن [۸] در حال آشکارسازی پرتوهای کیهانی هستند.

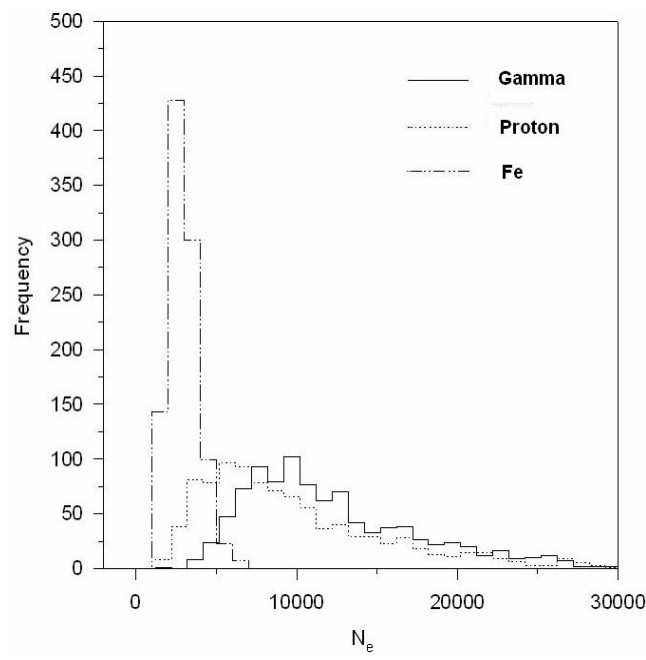
با استفاده از این آرایه کوچک، تأثیر میدان مغناطیسی زمین روی بهمنهای گستردۀ هوایی [۹] و ناهمسانگردی پرتوهای کیهانی [۱۰] مورد مطالعه قرار گرفته است. همچنین چشم‌های پر انرژی گاما که قبلاً "توسط تلسکوپ EGRET" در رصدخانه فضایی کامپتون (CGRO) آشکارسازی شده بود توسط این گروه نیز مشاهده شده است [۱۱]. به علاوه این گروه با ساخت یک تلسکوپ پرتوکیهانی میونهای مثبت و منفی جو را

عرضی هادرونها ثانویه [۲]، پارامترهای مختلف نور چرنکوف [۳] و تحلیل مولتی فرکتالی الکترونها ثانویه [۴] اشاره کرد. اگرچه در مقایسه با روش مستقیم (بالن و ماهواره) این روشها از دقت و تکنیک کمتری برخوردار هستند اما به دلیل سطح جمع‌آوری زیاد آرایه‌های زمینی تنها راه بررسی (CR) در آرایه‌های زیاد می‌باشند. پارامترهایی که در این روش آشکارسازی می‌شوند، ذرات ثانویه، نور چرنکوف یا نور فلورسانس آنها هستند.

نمای شماتیک یک بهمن هوایی در شکل ۱ دیده می‌شود. در انرژی‌های زیاد و فوق العاده زیاد پرتوهای کیهانی پس از عبور از جو، رگباری از فوتون، الکترون، پوزیترون، میون و ... تولید می‌کنند، در این روش ذرات توسط آرایه‌هایی از سیستیلاتورها یا آشکارسازهای مسیریاب در سطح زمین آشکار می‌شوند. در مورد ذرات باردار در برهم‌کنش اول، نوکلئونهای ثانوی و مزونها تشکیل می‌شوند، پایونهای ختی بدو فوتون تلاشی می‌کنند و بر اثر تولید زوج و تابش ترمزی رگباری از فوتونها و الکترونها تولید می‌کنند. پایونهای باردار نیز به میونها و نوتروینوها واپاشی می‌کنند. میونها و نوتروینوها برهم‌کنش کمی با جو دارند و به سطح زمین می‌رسند. اگر تابش اولیه پرتو گاما



شکل ۳. افت و خیز تعداد میونها (۱۰۰۰ بهمن برای هر اولیه).



شکل ۲. افت و خیز تعداد الکترونها (۱۰۰۰ بهمن برای هر اولیه).

سطح مشاهده می‌رسند ثبت می‌شوند و در نتیجه امکان یک تحلیل همه جانبه از بهمنهای شبیه سازی شده حاصل می‌شود. در کار حاضر با استفاده از این گُدد و مدل اندرکنش QGSJET برای اندرکنشهای هادرونی در انرژیهای بالا [۱۳] تعداد بیش از ۵۰۰۰ بهمن گستردۀ هوایی شبیه سازی و تحلیل شده‌اند.

۳. طبیعت آماری ثانویه‌ها و افت و خیز در تعداد آنها
شکل ۲ نتایج شبیه سازی را برای گاما، پروتون و آهن نشان می‌دهد. برای هر تابش شبیه سازی در تعداد ۱۰۰۰ بهمن در انرژی 100 TeV انجام شده است. همان طور که دیده می‌شود افت و خیزهای آماری تعداد الکترونها در سطح مشاهده (N_e) به اندازه‌ای گستردۀ است که عملًا آهن و پروتون و گاما، به لحاظ تعداد الکترونها کاملاً از هم تفکیک ناپذیرند. همان طور که دیده می‌شود آهن دارای الکترونها ثانویه کمتری نسبت به پروتون، و گاما دارای تعداد الکترونها بیشتری نسبت به آهن و پروتون است اما توزیع الکترونها آهن تیزتر از پروتون و گاما است.

شکل ۳ نتیجه شبیه سازی را در همان تعداد و انرژی

آشکارسازی و نسبت میونهای مثبت به میونهای منفی را که حاوی اطلاعات مهمی در مورد نوتربینوهای جو زمین است، تعیین کرده‌اند [۱۲].

۲. گُدد شبیه سازی CORSIKA

تحلیل داده‌های آزمایش‌های بهمنهای گستردۀ هوایی (EAS) نیاز به مدل سازی تئوری دقیق بهمنهایی دارد که از برخوردهای اولیه پر انرژی با جو ایجاد می‌شوند و این کار را فقط می‌توان با یک شبیه سازی مونت کارلو که تمامی مشخصات اندرکنشهای قوی و الکترو مغناطیسی در آن منظور می‌شود (Cosmic Ray Simulation For Kascade) CORSIKA انجام داد. CORSIKA یک برنامه مفصل شبیه سازی است که توسعه بهمنهای گستردۀ هوایی را بررسی می‌کند. در حال حاضر توسط گروههای زیادی استفاده می‌شود و محدوده کاربرد آن از 10^{12} eV تا 10^{20} eV وسعت دارد. در این برنامه عبور همه ذرات در داخل جو و اندرکنشهای آنها با هدف هوا در نظر گرفته می‌شود. همه ذرات ثانویه دقیقاً در امتداد مسیرشان ردیابی می‌شوند و پارامترهای مربوط به آنها در زمانی که به یک

همان طور که دیده می شود در هر انرژی یک H_{max} ^۱ یعنی ارتفاع خاصی وجود دارد که در آن ارتفاع، N_e به ماکزیمم مقدار خود می رسد و ارتفاع این ماکزیمم با افزایش انرژی کاهش می یابد. همچنین منحنی نشان می دهد که با افزایش انرژی، N_e زیاد می شود. منحنی تویر در روی شکل برآش نقاط را با منحنی $Ln(N_e) = a + bH + cH^{1/5}$ نشان می دهد که در آن N_e تعداد الکترونها در ارتفاع H و c, b, a پارامترهای برآش می باشند (محده د این پارامترها به صورت $a \leq 12$ ، $b \leq 0.002$ و $c \leq -1/8 \times 10^{-5}$ تغییر می کند). نکته جالب در این منحنیها برآش بسیار خوب نقاط تمام منحنیها با رابطه $Ln(N_e) = a + bH + cH^{1/5}$ است (البته ضرایب a, b, c برای هر منحنی متفاوت است).

۵. وابستگی H_{max} به نوع و انرژی تابش اولیه
از روی منحنیهای برآش، H_{max} یعنی ارتفاعی که بهمن در آن به ماکزیمم تعداد N_e خود می رسد محاسبه شده است. شکل ۵، نتایج شبیه سازی را برای H_{max} بر حسب انرژی اولیه برای گاما، پروتون، هلیوم، نیتروژن، سیلیسیم و آهن نشان می دهد. همان طور که دیده می شود با افزایش انرژی H_{max} کمتر می شود یعنی بهمن در ارتفاع نزدیکتری به سطح دریا یا ارتفاع بیشتری از بالای جو به N_e ماکزیمم خود می رسد و این به خاطر آن است که ثانویه ها دارای انرژی بیشتری هستند و دیرتر به انرژی آستانه خود می رستند. اما نکته دیگری که این منحنی نشان می دهد آن است که اولیه های سنگیتر مثل آهن، به دلیل اینکه انرژی در واحد هستک (نوکلئون) کمتری دارند، در ارتفاع بالاتری از سطح دریا یعنی ارتفاع کمتری از بالای جو و به عبارتی زودتر به ماکزیمم N_e می رستند.

پس H_{max} به دو عامل جرم و انرژی بستگی دارد. آیا از این

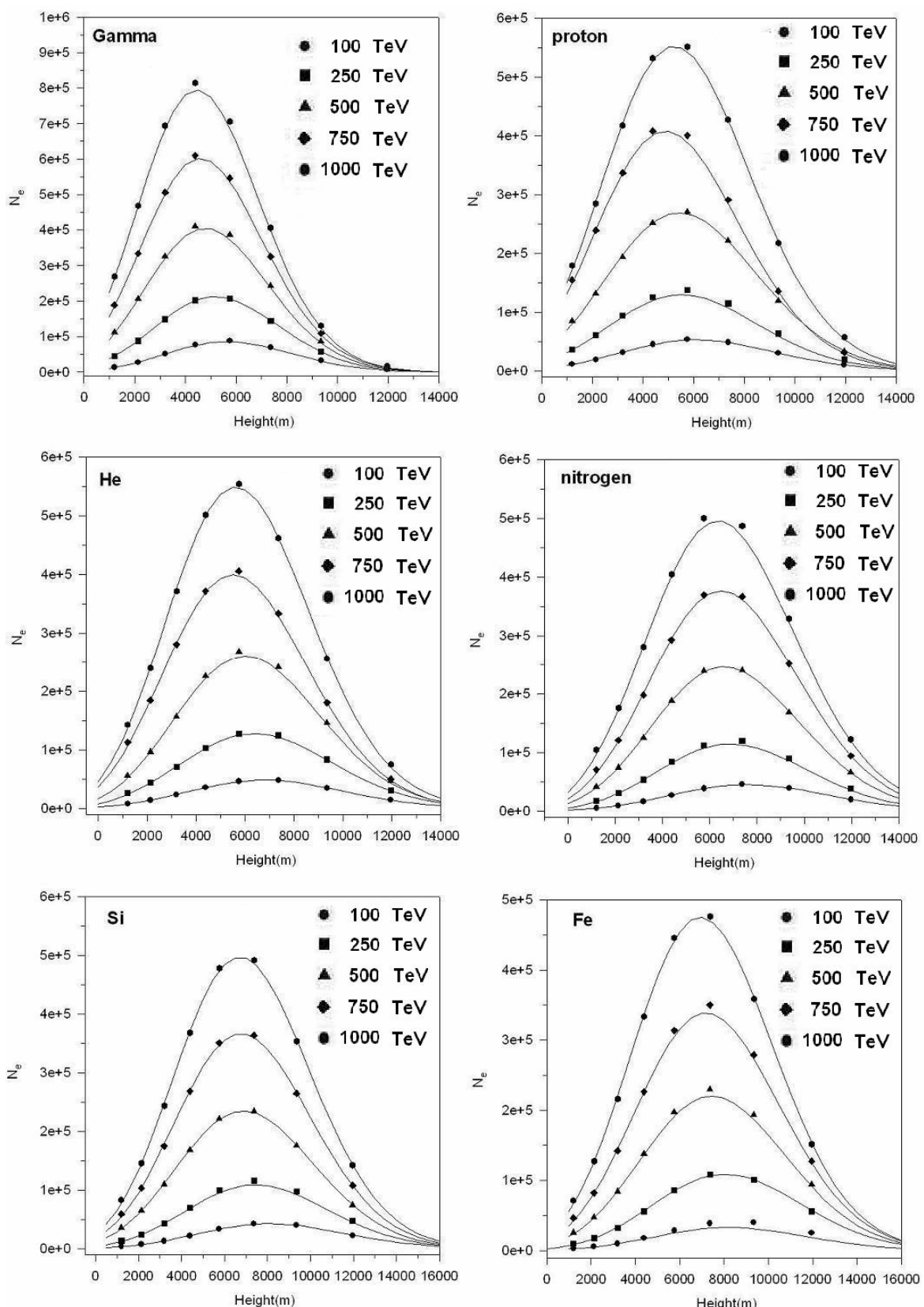
۱. در بعضی از متون به جای H یعنی ارتفاع از سطح دریا بر حسب km از X یعنی ارتفاع از بالای جو بر حسب $(\rho \times H) / g/cm^3$ استفاده می شود. رابطه این دو به صورت زیر است [۱۴]:
- $$H(km) = 27 / 0.5 + Ln(X) + 0.229 \ln^2(X), \quad X < 25 g/cm^3$$
- $$H(km) = 25 / 5 - 6 / 34 \ln(X) \quad 25 < X < 23.$$
- $$H(km) = 24 / 34 - 11 / 861 (X)^{0.9} \quad X > 23 g/cm^3$$

۱۰۰ TeV برای تعداد میونهای رسیده به سطح آشکار سازی (در مورد شبیه سازی ما ۱۲۰۰ متر از سطح دریا یعنی ارتفاع شهر تهران) نشان می دهد. افت و خیز آماری هنوز شدید است اما در مقایسه با (N_e) ، منحنی نشان می دهد که تعداد میونها مشخصه بهتری برای تفکیک جرمی پرتوهای کیهانی است. البته هنوز افت و خیزها به اندازه ای است که تنها یک شبیه سازی با تعداد بسیار زیاد می تواند از روی تعداد میونها با احتمال معین (نه صد درصد) نوع یک تابش اولیه را تعیین کند.

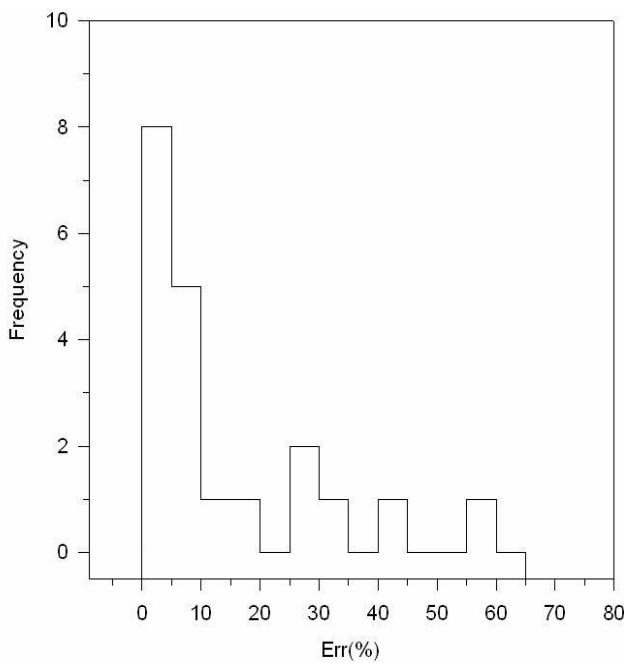
باید تأکید کرد که طبیعت آماری شبیه سازی فقط ناشی از طبیعت مونت کارلوئی شبیه سازی نیست بلکه در عمل به دلیل اینکه ارتفاع اولین نقطه برهم کنش با جو زمین حتی در مورد اولیه های با نوع و انرژی یکسان متفاوت است و نیز احتمالات متفاوتی در واپاشهیهای ثانویه ها به ثانویه های کم انرژی تر وجود دارد، این افت و خیز ذاتی و اجتناب ناپذیر است و در نتیجه همان طور که اشاره شد در باز سازی یک بهمن آشکار سازی شده توسط آرایه های زمینی از روی نتایج شبیه سازی تنها با احتمال معین می توان به تابش اولیه، جرم و انرژی معینی نسبت داد.

۴. رابطه N_e با فاصله بهمن از سطح آشکار سازی

همان طور که انتظار داریم تعداد ذرات ثانویه در ارتفاعهای مختلف متفاوت است. ذرات ثانویه ابتدا کمتر و پر انرژی تر هستند، در ارتفاع خاصی به ماگزیمم تعداد خود می رستند و بعد از آن چون بعضی از آنها انرژی زیادی از دست می دهند و انرژی آنها از آستانه آشکار سازیهای زمینی کمتر می شود یا حتی بعضی از آنها کاملاً از بین می روند آشکار سازی نمی شوند، در نتیجه تعداد ثانویه ها با افزایش ارتفاع کم و کمتر می شوند. ما در شبیه سازی خود به تعداد الکترونها در ارتفاعهای مختلف توجه کردیم. شکل ۴ منحنی متوسط تعداد الکترونها بر حسب ارتفاع از سطح دریا را برای تابشهای گاما، پروتون، هلیوم، نیتروژن، سیلیسیم و آهن در انرژیهای مختلف نشان می دهد. هر منحنی مربوط به 50 بهمن گستردگی هواپی است و نقاط روی منحنیها متوسط این 50 بهمن در ارتفاعهای مختلف هستند.



شکل ۴. منحنی متوسط تعداد الکترونها بر حسب ارتفاع از سطح دریا برای تابش‌های اولیه گاما، پروتون، هلیوم، نیتروژن، سیلیسیوم و آهن در انرژیهای مختلف به همراه منحنیهای برازش یافته مربوط به هر کدام.

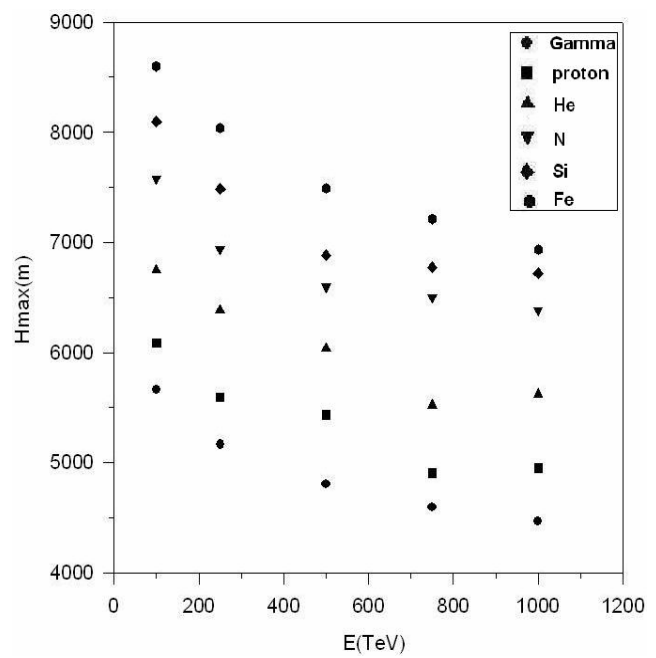


شکل ۶. هیستوگرام در صد خطای تخمین جرم دسته اول با استفاده از پارامترهای همین دسته.

طریق A به عنوان تخمینی از جرم محاسبه شد. شکل ۶ هیستوگرام در صد خطای تخمین جرم دسته اول با استفاده از پارامترهای همین دسته است.

دسته دوم داده‌ها شامل اولیه‌های هلیوم و نیتروژن هستند که در دسته اول موجود نیستند. همچنین داده‌های جدیدی از گاما، پروتون، سیلیسیوم و آهن را در بر دارند. ما پارامترهای حاصل از دسته اول را در مورد این گروه داده‌ها به کار بردیم. شکل ۷ هیستوگرام در صد خطای دسته دوم داده‌ها با استفاده از پارامترهای دسته اول را نشان می‌دهد. همان طور که دیده می‌شود توافق بسیار خوبی بین جرم تخمین زده شده و جرم واقعی وجود دارد.

و بالاخره کل داده‌ها را یک بار با پارامترهای حاصل از برآذش دسته اول (شکل ۸) و بار دیگر با استفاده از پارامترهای حاصل از برآذش خودشان (شکل ۹) مورد آزمون قرار دادیم که همان طور که دیده می‌شود هنوز توافق بسیار خوبی بین جرم تخمینی و جرم واقعی وجود دارد (قله درصد خطای جرم تخمینی برای داده‌های مختلف بین صفر تا ۰.۵٪ است).



شکل ۵. منحنی H_{\max} بر حسب انرژی برای تابش‌های اولیه مختلف.

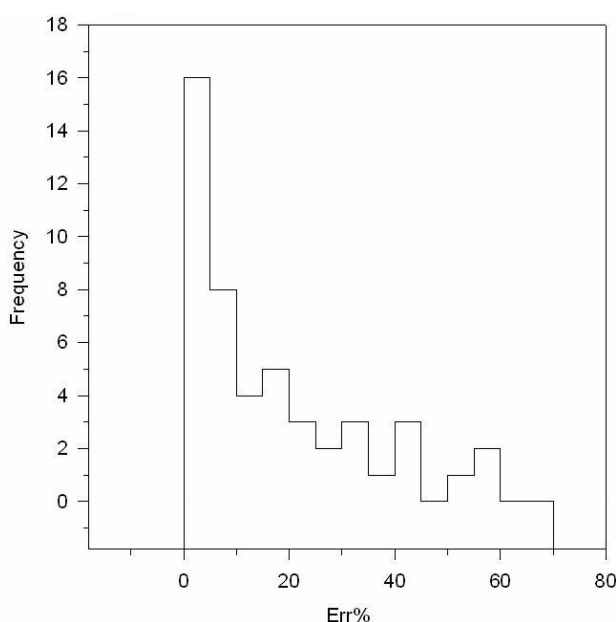
وابستگی می‌توان برای تعیین جرم و انرژی استفاده کرد؟

۶. برازش داده‌ها و رابطه H_{\max} با جرم و انرژی تابش اولیه

برای به دست آوردن رابطه‌ای بین E و H_{\max} (عدد جرمی) داده‌های موجود از شبیه سازی خود را به طور اختیاری به دو دسته تقسیم کردیم. در دسته اول گاما، پروتون، سیلیسیوم و آهن در انرژیهای مختلف (۳۰۰ بهمن در هر اولیه برای انرژی ۱۰۰ و ۵۰ بهمن در هر اولیه برای ۴ محدوده دیگر انرژی) قرار می‌گیرد. برای این دسته یک برازش χ^2 بعدی انجام شد و برازش بسیار خوبی ($\chi^2 = 0.98$) با منحنی $\ln(A) = a + b(\ln(E))^2 + c/H_{\max}$ حاصل شد. پارامترهای a , b , c حاصل از این برازش در جدول ۱ مشاهده می‌شوند. در مرحله بعد پارامترهای حاصل از دسته اول برای تخمین جرم (در انرژی معلوم) همین دسته به کار رفت، به این صورت که پارامترهای E و H_{\max} مربوط به هر داده در تابع $\ln(A) = a + b(\ln(E))^2 + c/H_{\max}$ قرار داده شد و از آن

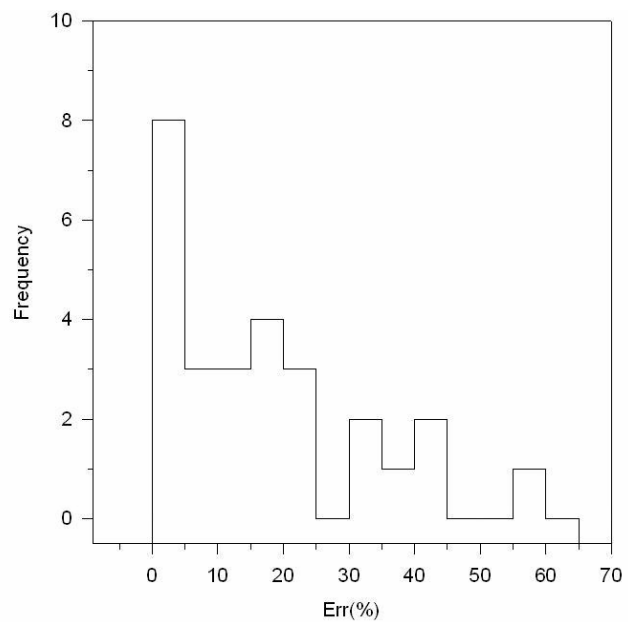
جدول ۱. پارامترهای برآذش منحنی $. \ln(A) = a + b(\ln(E))^\gamma + C/H_{\max}$

پارامترهای برآذش					داده‌ها
(γ)	c	b	a	تعداد	
۰/۹۸۶	-۷۵۳۶۷/۰۰۶۶	۰/۰۷۸۱۷	۱۱/۰۷۵۴	۲۰	دسته اول (گاما، پروتون، سیلیسیوم و آهن)
۰/۹۷۸	-۷۴۷۴۹/۲۲۹۱	۰/۰۷۵۱۱	۱۱/۱۰۱۳	۵۰	دسته دوم کل داده‌ها (هليوم، نيتروژن، گاما و پروتون سیلیسیوم، آهن)



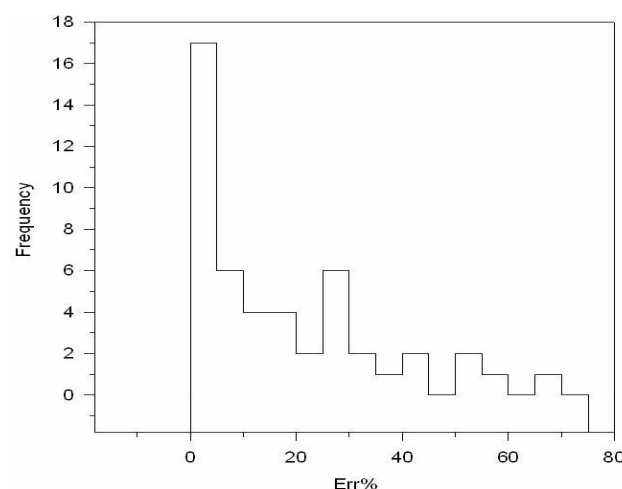
شکل ۸. هیستوگرام درصد خطای تخمین جرم کل داده‌ها

با استفاده از پارامترهای دسته اول.



شکل ۷. هیستوگرام درصد خطای تخمین جرم دسته دوم با

استفاده از پارامترهای دسته اول.



شکل ۹. هیستوگرام درصد خطای تخمین جرم کل داده‌ها با استفاده از پارامترهای کل داده‌ها.

تعیین جرم و انرژی را بطور دقیق حل کرد.

نکته دیگری که باید به آن توجه کرد این است که هر نقطه در هیستوگرامهای نمایش داده شده متوسط تعداد زیادی بهمن است و اگر این روش در مورد تک بهمنها به کار رود مسلماً خطای بیشتری وارد خواهد شد. (البته این محدودیت در مورد تمام روشهایی که از شبیه سازی استفاده می‌کنند یعنی تمام روشهای غیر مستقیم اجتناب نپذیر است) [۱۷]. در نتیجه در به کار بردن برآراش پیشنهادی ما، افت و خیز آماری بهمنها را همواره باید در نظر گرفت.

۷. نتیجه‌گیری و محدودیتهای روش حاضر

اگر چه در عمل H_{\max} یا X_{\max} (ارتفاع بیشینه از بالای جو بر حسب gr/cm^2) توسط آشکارسازهایی که نور چرنکوف و نور فلورسانس مربوط به ذرات ثانویه را آشکارسازی می‌کنند قابل اندازه‌گیری است [۱۶ و ۱۵] و در کار حاضر با دقت بسیار خوبی رابطه‌ای بین E ، H_{\max} و A به دست آمده است، اما هنوز این رابطه دو مجھول E و A را در بر دارد که محاسبه هر کدام با استفاده از H_{\max} منوط به دانستن دیگری است. در ادامه کار حاضر در نظر است با یافتن رابطه دیگری بین انرژی و جرم و یک کمیت قابل مشاهده دیگر (مثلًاً تعداد میونها) بتوان مسئله

مراجع

11. M Khakian Ghomi, et al., *A&A*, **434** (2005) 459-467.
12. M Bahmanabadi, et al., *Astropart. Phys.* **24** (2005) 183-190.
13. D Heck et al CORSIKA (cosmic ray simulation for KASCADE) FZKA 6019 (Forschungszentrum Karlsruhe 1998).
14. T K Gaisser *Cosmic Rays and Particle Physics*. Cambridge University Press (1990).
15. R M Baltrusaitis et al., *Nucl. Instrum. Meth. Phys. Res. A* **240** (1985) 410.
16. J Alvarez-Muñiz et al., *Phys. Rev. D* **69** (2004) 103003.
17. Jeferson A Ortiz,* Gustavo Medina-Tanco, and V de Souza, *Astropart.Phys.* **23** (2005) 463-476.
1. M Aglietta et al., *Nuclear Phys.* **13** (Proce. Suppl. 2000), 8, 318.
2. A Castellina, *astro-ph/0011221* (2000).
3. A Haungs, et al., *Astropart. Phys.* **12** (1999) 145
4. G Rastegarzadeh and J Samimi, *J. Phys. G: Nucl. Part Phys.* **27**, (2001) 1.
5. http://www-ik.fzk.de/KASCADE/KASCADE_publications_g.html.
6. Pierre Auger Collaboration, J Blumer et al., *J. Phys. G: Nucl. Part. Phys.* **29** (2003) 86.
7. <http://sina.sharif.edu/~observatory/>.
8. M Bahmanabadi, et al., *Experimental Astronomy*, **8** (1998) 211-229.
9. M Bahmanabadi, et al., *Experimental Astronomy*, **13** (2002) 39-57.
10. M Bahmanabadi, et al., *Experimental Astronomy*, **15** (2003) 13-27.